

U-64

rely

ELF - R.E.  
D. EXPLOR.  
LABORATOIRE EXPLORATION

SONDAGE 17/12-1x

RAPPORT D'ANALYSES GEOCHIMIQUES  
DE FLUIDES DE TESTS

Chim. S



03-D-31 n° 2/725 R  
/eg

D. JONATHAN  
Décembre 1972

Des analyses géochimiques ont été effectuées sur deux échantillons d'huile recueillis au cours des DST 1 (7668 à 7682') et DST 2 (7600 - 7628'), tous deux dans des réservoirs d'âge Jurassique.

Les résultats de l'analyse chimique d'un échantillon d'eau du Test n°7 (7703-7691') réalisé par le Laboratoire R.T.E.N. sont joints en annexe.

L'analyse des huiles comprend trois techniques essentielles :

- étude de la constitution
- thermovaporisation des "légers"
- chromatographie de la fraction des "hydrocarbures saturés".

Tous les résultats obtenus apparaissent sur les planches jointes en annexe.

Ces deux huiles présentent un caractère assez aromatique ( $S/A = 2,94$  et  $2,86$ ), alors que la fraction huile saturée contient environ 12 % de n-alcanes.

Les "carbon Preference Index" (CPI), bien que situés de part et d'autre de 1 sont très proches de cette valeur.

L'examen des hydrocarbures légers par thermovaporisation montre une forte analogie de l'allure des chromatogrammes correspondant aux 2 échantillons ; on doit noter toutefois une proportion plus faible des constituants légers dans l'huile du DST 2, peut-être due aux conditions de prélèvement ou de conservation .

Les chromatogrammes des hydrocarbures saturés, quant à eux, montrent une analogie parfaite des 2 produits : même fond naphténique avec accroissement au niveau des points d'ébullition élevés et maximum entre les alcanes C<sub>27</sub> et C<sub>28</sub>, même répartition relative des alcanes ; le développement des isoprénoides Farnesane, Pristane et Phytane est accentué mais la concentration en Pristane et Phytane par rapport aux alcanes respectivement voisins est plus élevée dans l'huile du DST 2, ceci pouvant être considéré comme une indication de moindre évolution.

Cette dernière observation rejoint d'ailleurs celle qui peut être faite concernant la distribution des n-alcanes : cette distribution est bimodale avec valeurs maximales en C<sub>17</sub> et C<sub>24</sub>. L'absence de décroissance régulière rapide des teneurs en n-alcanes vers les poids moléculaires les plus élevés est probablement ici encore un élément qui permet de dire que ces huiles sont assez peu évoluées ; par l'abondance des n.alcanes et la présence de certains détails notés dans la distribution de ceux-ci, elles présentent les caractères d'un produit de type Jurassique.

## ANALYSE D'HUILE

ECHANTILLON : DST 1 (7668' à 7682')

COT =

MOE =

P. d'extrait

SONDAGE : 17/12-1x

Age ou Formation :

## CONSTITUTION :

Asphaltènes	As = 0,6 %
Resines	R = 9,4
Constituants huileux	CH = 88,1
Perthes + Residus:	100 -(A+R+CH) = 1,9

Asphaltènes Insolubles/CCl <sub>4</sub>	C = 0
CH Saturés = 65,7	CH Aromatiques = 22,4
S/A = 2,94	

## ANALYSE DES HYDROCARBURES SATURES PAR CPG (Poids de la prise d'essai = 123mg)

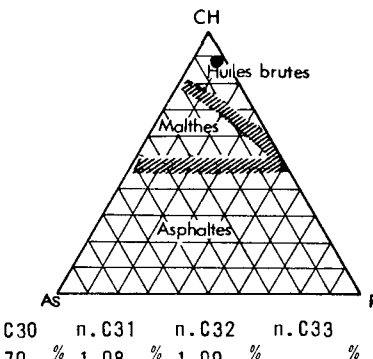
Proportion des n.alcanes dans les Saturés = 11,8%

Proportion du Farnesane = 0,46 du Pristane = 0,71 du Phytane = 0,56

Rapports Pristane/Phytane = 1,27 Pristane/n.C17 = 0,75 Phytane/n.C18 = 0,65

## Recherche de dominance paire ou impaire par calcul du Carbon Preference Index (CPI) :

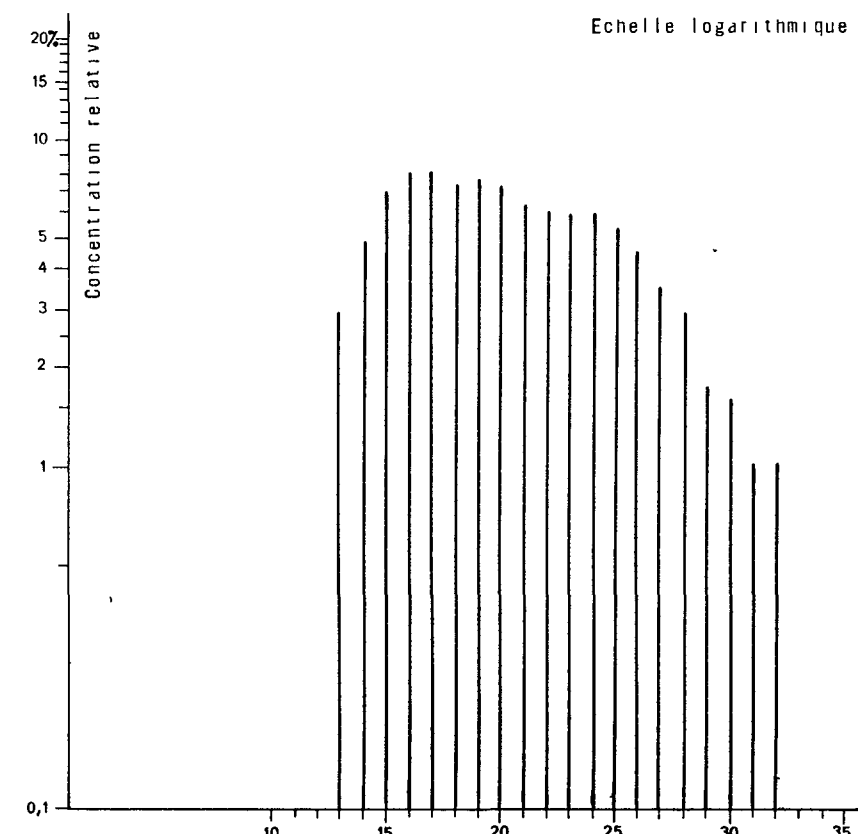
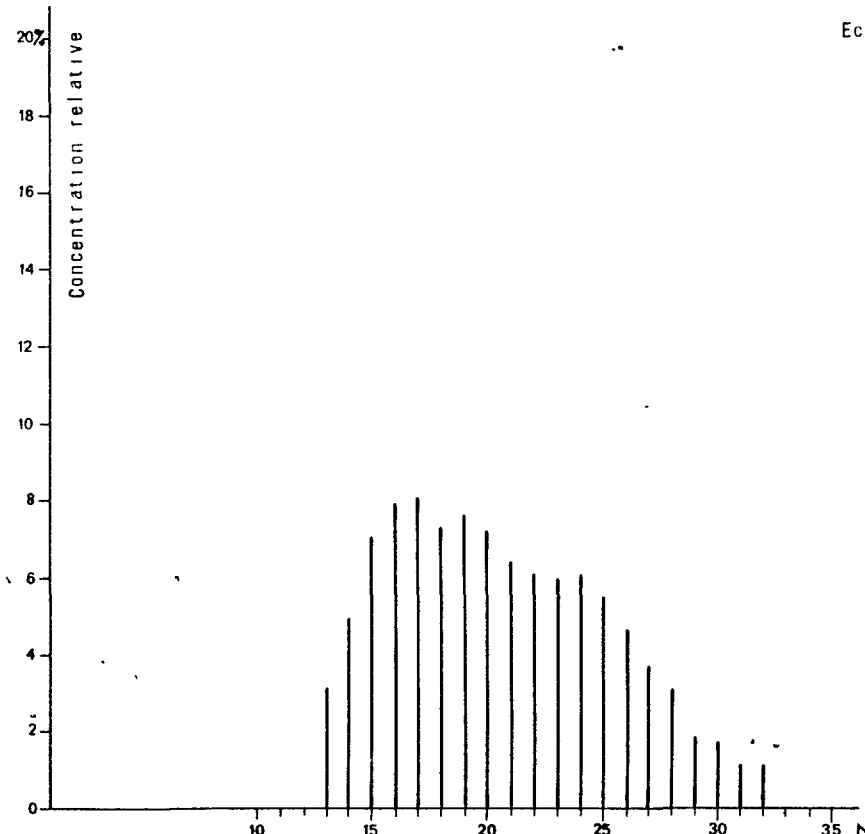
CPI entre la n.alcane C16 et la n.alcane .C30 CPI = 0,979



Distribution relative des n.alcanes

n.C13	n.C14	n.C15	n.C16	n.C17	n.C18	n.C19	n.C20	n.C21	n.C22	n.C23	n.C24	n.C25	n.C26	n.C27	n.C28	n.C29	n.C30	n.C31	n.C32	n.C33
3,07	4,95	7,01	7,93	8,05	7,30	7,62	7,18	6,36	6,08	5,96	6,01	5,43	4,63	3,65	3,04	1,84	1,70	1,08	1,09	%

## HISTOGRAMMES DE LA DISTRIBUTION RELATIVE DES n.ALCANES EN FONCTION DU NOMBRE N DE CARBONES



## ANALYSE D'HUILE

ECHANTILLON DST 2 (7600-7628')

## CONSTITUTION

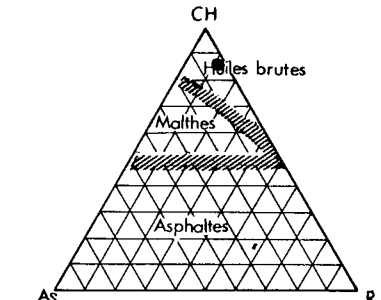
Asphaltenes	As = 2,9 %
Résines	R = 10,6
Constituants huileux	CH = 85,7
Pertes + Résidus	100 - (A+R+CH) = 0,9

COT = MOE = P. d'extrait

Asphaltenes Insolubles/CC14	C = 0
CH Satures = 63,6	CH Aromatiques = 22,1
S/A = 2,86	

SONDAGE : 17/12-1x

Age ou Formation

Reservoir dans le  
JURASSIQUE

## ANALYSE DES HYDROCARBURES SATURES PAR CPG (Poids de la prise d'essai = 137 mg)

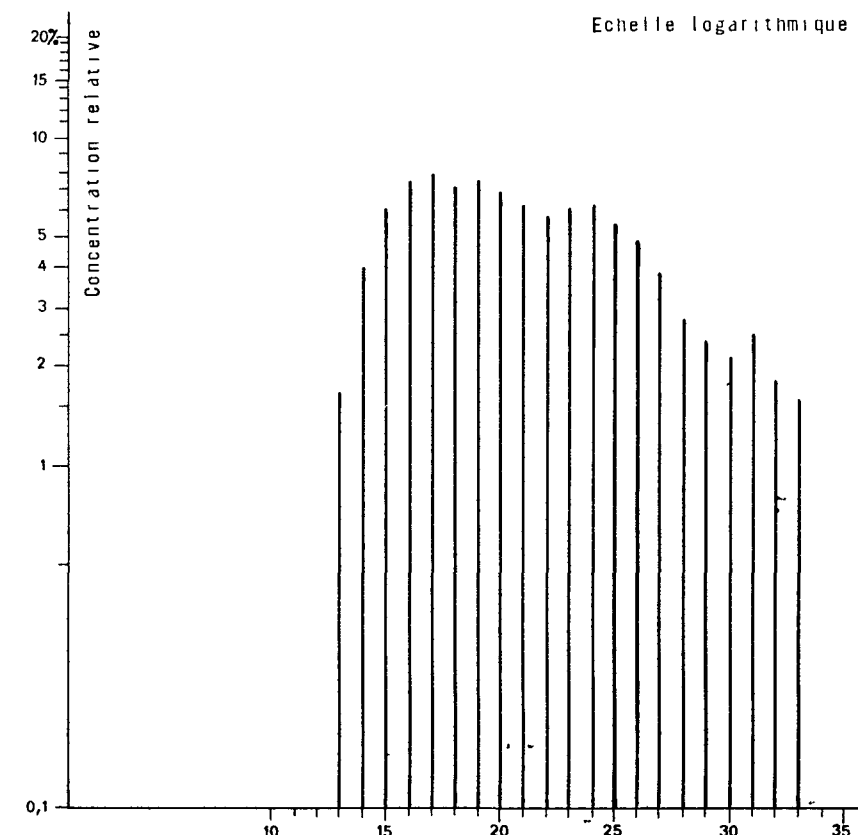
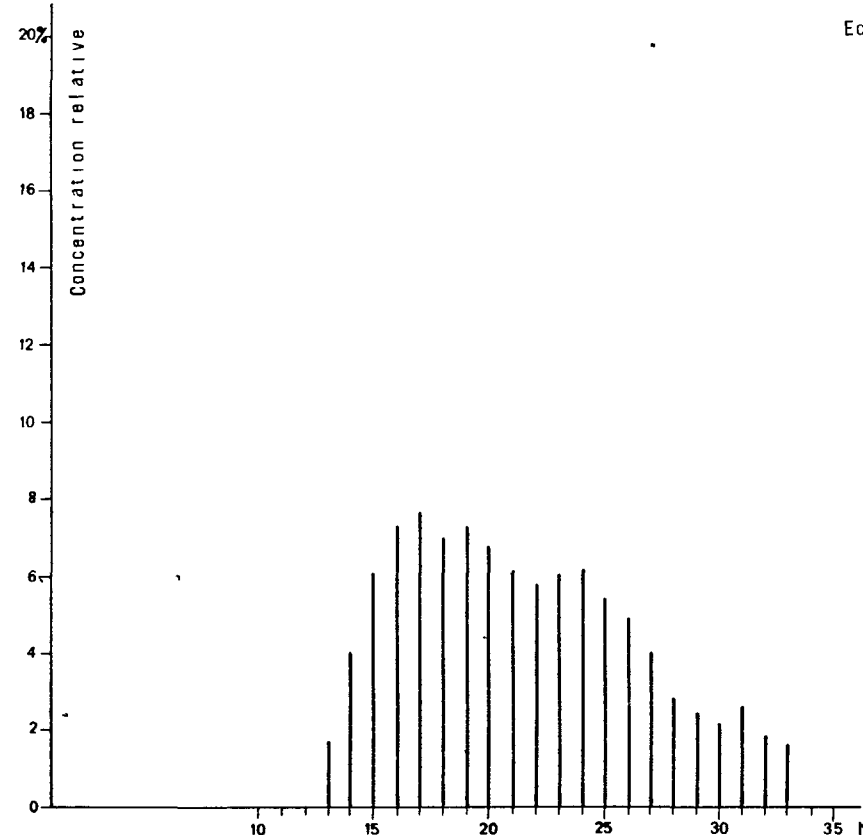
Proportion des n.alcanes dans les Satures =

Proportion du Farnesane = 0,52	du Pristane = 0,85	du Phytane = 0,68
Rapports Pristane/Phytane = 1,24	Pristane/n.C17 = 0,87	Phytane/n.C18 = 0,76

Recherche de dominance paire ou impaire par calcul du Carbon Preference Index (CPI)  
entre la n.alcane C16 et la n.alcane C32 CPI = 1,012

Distribution relative des n.alcanes  
 n.C13 n.C14 n.C15 n.C16 n.C17 n.C18 n.C19 n.C20 n.C21 n.C22 n.C23 n.C24 n.C25 n.C26 n.C27 n.C28 n.C29 n.C30 n.C31 n.C32 n.C33  
 1,74 4,03 6,05 % 7,30 % 7,67 % 7,00 % 7,30 % 6,77 % 6,16 % 5,82 % 6,06 % 6,20 % 5,45 % 4,88 % 3,97 % 2,85 % 2,45 % 2,20 % 2,59 % 1,88 % 1,65 %

## HISTOGRAMMES DE LA DISTRIBUTION RELATIVE DES n.ALCANES EN FONCTION DU NOMBRE N DE CARBONES



		C.01	C.10	1.00	10.00	99.99	%
* C1		*	*	*	*	*	*
* C2		*	*	*	*	*	*
* C3		*	*	*	*	*	*
* IC4		*	*	*	*	*	*
* IC5		3.543	*	*	*	*	*
* IC6		3.073	*	*	*	*	*
* IC6		3.063	*	*	*	*	*
* IC6		5.739	*	*	*	*	*
* IC7		14.866	*	*	*	*	*
* IC7		7.372	*	*	*	*	*
* IC8		20.570	*	*	*	*	*
* NC9		0.031	*	*	*	*	*
* IC9		16.545	*	*	*	*	*
* NC9		7.449	*	*	*	*	*
* IC10		19.283	*	*	*	*	*
* NC10		7.020	*	*	*	*	*
* IC11		13.043	*	*	*	*	*
* NC11		8.606	*	*	*	*	*
* IC12		11.359	*	*	*	*	*
* NC12		6.777	*	*	*	*	*
* IC13		12.525	*	*	*	*	*
* NC13		7.362	1.670	*	*	x	*
* IC14		0.023	*	*	*	*	*
* NC14		7.107	2.698	*	*	x	*
* C15		6.856	3.821	*	*	x	*
* C16		6.586	4.319	*	*	x	*
* C17		6.146	4.387	*	*	x*	*
* C18		5.343	3.977	*	*	x	*
* C19			4.151	*	*	x	*
* C20			3.912	*	*	x	*
* C21			3.462	*	*	x	*
* C22			3.312	*	*	x	*
* C23			3.247	*	*	x	*
* C24			3.273	*	*	x	*
* C25			2.957	*	*	x	*
* C26			2.519	*	*	x	*
* C27			1.990	*	*	x	*
* C28			1.654	*	*	x	*
* C29			1.005	*	*	x	*
* C30			0.924	*	*	x	*
* C31			0.586	*	*	x	*
* C32			0.595	*	*	x	*

ANNEE B4

14/12/1

DST 1

$\Sigma C_1 \& C_{14} = 200$

			0.01	0.10	1.00	10.00	99.99	%o
*	C1	*	*	*	*	*	*	*
*	C2	*	*	*	*	*	*	*
*	C3	*	*	*	*	*	*	*
*	I04	*	*	*	*	*	*	*
*	V04	*	*	*	*	*	*	*
*	I05	*	0.266	*	*	*	*	*
*	V05	*	0.533	*	*	*	*	*
*	I06	*	1.535	*	*	*	*	*
*	V06	*	1.919	*	*	*	*	*
*	I07	*	7.704	*	*	*	*	*
*	V07	*	4.856	*	*	*	*	*
*	I08	*	16.269	*	*	*	*	*
*	V08	*	7.995	*	*	*	*	*
*	I09	*	14.250	*	*	*	*	*
*	V09	*	7.020	*	*	*	*	*
*	I010	*	14.134	*	*	*	*	*
*	V010	*	7.116	*	*	*	*	*
*	I011	*	10.991	*	*	*	*	*
*	V011	*	8.123	*	*	*	*	*
*	I012	*	8.160	*	*	*	*	*
*	V012	*	6.577	*	*	*	*	*
*	I013	*	8.198	*	*	*	*	*
*	V013	*	7.432	0.989	*	*	X	*
*	I014	*	7.703	*	*	*	*	*
*	V014	*	7.412	2.294	*	*	X	*
*	C15	*	6.819	3.441	*	*	*	*
*	C16	*	6.547	4.153	*	*	X	*
*	C17	*	6.559	4.363	*	*	X	*
*	C18	*	5.682	3.982	*	*	X*	*
*	C19	*	*	4.154	*	*	X	*
*	C20	*	*	3.852	*	*	X	*
*	C21	*	*	3.504	*	*	X	*
*	C22	*	*	3.314	*	*	X	*
*	C23	*	*	3.449	*	*	X	*
*	C24	*	*	3.525	*	*	X	*
*	C25	*	*	3.078	*	*	X	*
*	C26	*	*	2.774	*	*	X	*
*	C27	*	*	2.258	*	*	X	*
*	C28	*	*	1.619	*	*	X	*
*	C29	*	*	1.393	*	*	X	*
*	C30	*	*	1.251	*	*	X	*
*	C31	*	*	1.476	*	*	X	*
*	C32	*	*	1.071	*	*	X	*
*	C33	*	*	0.937	*	*	X	*

ANNEXE B.2

17/12-1 DST 2  
 $\Sigma C_1 \& C_{14} = 148$

EAU CHAMP BREAN (Phillips) SONDE ANALYSE TYPE I  
WATER FIELD 17/12/1 X WELL STANDARD ANALYSIS I

DATE : 16 Juin 1972 à 8 heures Z. tr. \_\_\_\_\_ m (1)  
DATE :

TYPE DU TEST : COTE ABSOLUE \_\_\_\_\_ m  
STANDARD OF TEST : ABSOLUTE DEPTH

N° DU TEST : 7 COTE : eau de Gisement \_\_\_\_\_ à \_\_\_\_\_ m  
TEST N° PRODUCING DEPTH from at m

MODE DE PRELEVEMENT : Circulation inverse  
SAMPLING METHOD

PRESSION (Kg/Cm<sup>2</sup>) Estimée \_\_\_\_\_ K TEMPERATURE \_\_\_\_\_ °C  
PRESSURE Rated  
Mesurée \_\_\_\_\_ K Measured

N° LABO	ANALYSE		RENSEIGNEMENTS COMPLEMENTAIRES
N° LABO	ANALYSIS		COMPLEMENT INFORMATIONS
DENSITE 1037	RESISTIVITE 0,07	Ω/m <sup>2</sup> /m	Eau _____ m <sup>3</sup> /h Water
SPECIFIC GRAVITY	RESISTIVITY		Huile _____ m <sup>3</sup> /h Oil
EXTRAIT SEC A 105° C : 127 g/l	gr/L pH 6,8		Gaz _____ m <sup>3</sup> /h Gas
DRY EXTRACT AT 105° C:	g./LIT. pH		Volume eau dégorgée _____ m <sup>3</sup> Whole quantity of over flowing water
			Volume eau sous packer _____ m <sup>3</sup> Volume under packer
Ca ++ 14,413	Milliéquivalent 719,21	R. % 16,92	Pertes _____ m <sup>3</sup> Losses
Mg ++ 0,905		1,75	Volume dégorgé au moment du prélèvement _____ m <sup>3</sup> Quantity of over flowing water at sampling
K + 0,725	18,54	0,44	Boue _____ Mud
Na + 30,000	1304,52	30,68	Nature _____ Constitution
Li + traces	-	-	pH _____ pH
Fe +++ 0,011	0,59	0,01	Pertes _____ m <sup>3</sup> Losses
TOTAL 46,054	2117,28	49,80	Fluide d'acidification _____ Acidization fluid
Cl - 74,459	2099,98	49,40	Nature _____ Constitution
SO <sub>4</sub> -- 1,151	23,96	0,56	Volume _____ m <sup>3</sup> Volume
CO <sub>3</sub> -- 0	-	-	Tampon d'eau _____ Plug from water
CO <sub>3</sub> <sup>2-</sup> 0,610	10,00	0,24	Avant acidification _____ m <sup>3</sup> Before acidization
TOTAL 76,220	2133,94	50,20	Après acidification _____ m <sup>3</sup> After acidization
CONCENTRATION C/10 = 425,122	E = 0,4 %		
( cations + cations ) 10			
OBSERVATIONS : Observations :			

Note (1) : Cotes de la table de rotation par rapport au niveau de la mer.  
Height of rotarytable from the sea level.